

Изложенное выше позволяет сделать следующее заключение:

1. Поле напряжений вблизи трещины, растущей с большой скоростью, существенно отличается от поля вблизи статической трещины. Впереди быстрой трещины возникает узкая зона повышенных касательных напряжений — «нох».
2. При дальнейшем увеличении скорости развития разрушения перед трещиной возникает зона кольцевых изохром, в которой распределение касательных напряжений одинаково в разных направлениях от конца трещины. По мере удаления от конца напряжение в этой зоне линейно убывает.
3. В момент сформирования зоны равных напряжений начинается ветвление. Причина ветвления кроется в самом характере роста трещины, в преобразовании поля напряжений при большой скорости.

Авторы благодарят Г. И. Баренблatta за предложенную тему.

Поступила 2 VIII 1965

#### ЛИТЕРАТУРА

1. Ing l i s G. E. Stresses in a plate due to the pressende of cracks and sharp corners. Trans. Inst. Naval Archit., 1913, vol. 55, p. 219.
2. A n d r e w s E. H. Stress at a crack in an elastomer. Proc. Phys. Soc., 1961, vol. 77, p. 483.
3. F e s s l e r H., M a n s e l l D. O. Photoelastic study of stresses near crack in thick plates. J. Mech. Engng. Sci., 1962, vol. 4, No. 3, p. 213.
4. W e l l s A. A., P o s t D. The dynamic stress distribution surrounding a running crack a photoelastic analysis Exp. Stress. Analysis. Proc., 1958, vol. 16, No. 1, p. 69.
5. Y o f f e E. The moving Griffith crack. Philos. Mag., 1951, vol. 42, No. 330, p. 739.
6. G r a g g s J. W. On the propagation of a crack in an elastic — brittle material. J. Mech. Phys. Soc., 1960, vol. 8, No. 1, p. 66.
7. B r o b e r g K. B. The propagation of a brittle crack. Arkiv fys., 1960, vol. 18, p. 159.
8. A k i t a Y., I k e d a K. Theoretical research on the propagation of brittle fracture. Rep. Trans. Techn. Inst., 1958, vol. 32, p. 33.
9. K a r l s s o n J. Experimental studies of brittle fracture propagation. Kgl. Tekn. högskol. handl., 1962, No. 189, p. 56.
10. Ш а р д и н Г. Исследование скорости разрушения. В кн.: Атомный механизм разрушения. М., Металлургиздат, 1963.
11. Ф и н к е л ь В. М., К у т к и н И. А., Б е л о р у к о в В. Ф. Ветвление трещин в стали. Физ. металлов и металловедение, 1963, т. 15, вып. 5, стр. 754; Некоторые особенности ветвления трещин в стали. Изв. высш. учебн. завед., Черная металлургия, 1965, т. 2, стр. 106.
12. Ф р о х т М. Фотоупругость. т. I, М.—Л., Гостехиздат, 1948.
13. Б а р е н б л а т т Г. И., С а л г а н и к Р. Л., Ч е р е п а н о в Г. П. О неустановившемся движении трещин. ПММ, 1962, т. 26, в. 2, стр. 328.
14. Б е с с о н о в М. И. Механическое разрушение твердых полимеров. Успехи физ. наук, 1964, т. 83, стр. 107.
15. V a n E l s t H. C. The intermittent propagation of brittle fracture. Trans. Met. Soc. AJME, 1964, vol. 230, p. 460.
16. Б э к е р Б. Р. Динамические напряжения, вызываемые распространением трещины. Прикладная механика (переводы). 1962, т. 29, № 3, стр. 3—12.

#### ИССЛЕДОВАНИЕ НЕКОТОРЫХ ФИЗИКО-МЕХАНИЧЕСКИХ ХАРАКТЕРИСТИК ПРИ ПРОБИВАНИИ ОДИНОЧНОЙ ПРЕГРАДЫ

Ю. С. Степанов (Москва)

Излагаются результаты экспериментальных работ по определению некоторых параметров, характеризующих сквозное пробивание преград из ряда исследуемых материалов. К ним относятся импульс, приобретаемый преградой при ее пробивании, диаметры сквозных отверстий, углы тыльного и лицевого разлета и ряд других.

1. Рассмотрим случай заведомого пробивания частицей преграды толщиной  $l$ . Введем некоторые коэффициенты

$$k = \frac{m_2}{m_0 + \Delta P}, \quad \beta = \frac{J_1}{J_0}, \quad v = \frac{\varepsilon_1}{E_0} \quad (1.1)$$

Здесь  $m_2$  — масса, пролетевшая за преграду со скоростью  $v_2$ ,  $m_0$  — масса частицы,  $\Delta P$  — потеря массы преградой при сквозном пробивании,  $J_1$  — импульс, полученный преградой при пробивании,  $J_0$ ,  $E_0$  — первоначальные импульс и энергия частицы,  $\varepsilon_1$  — часть энергии, пошедшая на нагрев и необратимые объемные деформации за пластической волной. Таким образом, коэффициент  $k$  определяет часть массы, имеющую запреградную скорость  $v_2$ , коэффициент  $\beta$  — часть импульса, воспринимаемую

мого преградой. Уравнения импульса и массы запишутся в виде

$$J_0(1-\beta) = m_2 v_2 - m_3 v_3, \quad J_0 = m_0 v_0, \quad m_0 + \Delta P = m_2 + m_3 \quad (1.2)$$

Здесь  $v_0$  — скорость частицы,  $m_3$  — масса, отлетевшая в сторону, противоположную направлению удара, со скоростью  $v_3$ . Если процесс пробивания определяется механизмом, изложенным ранее в [1,2], то уравнения сохранения до начала выпрессовывания «пробки» [1] запишутся в виде

$$m_0 v_0^2 = (m_1 + m_0) v_1^2 + 2\varepsilon_1, \quad m_0 v_0 = (m_1 + m_0) v_1 \quad (1.3)$$

Здесь  $m_1$  — масса преграды, участвующая в неупругом ударе ( $m_1 > \Delta P$ ) и движущаяся со скоростью  $v_1$  за пластической волной в преграде вплоть до ее выхода на тыльную поверхность преграды. Отсюда

$$v = 1 - \frac{m_0}{m_0 + m_1} \quad (1.4)$$

2. Для разгона компактных сферических частиц применялись ствольная пороховая система и легкогазовая баллистическая установка, использованные в работе [3]. Скорость соударения не превышала 3.5 км/сек. Преграды изготавливались из дюралюминия марки Д-16Т, стали марки СТ-3, латуни, кадмия, олова, цинка, свинца, полистибена марки П-500, поролона, губчатой резины, резины РК-9, полизтилентерофталата (ПЭТФ), стеклотекстолита марки СТ, каучуков — полизобутилена, бутилкаучука, синтетического каучука марки СКБ. Разгоняемые частицы изготавливались из тех же металлов. При ударе по преградам из полимерных материалов применялись стальные частицы. Диаметр шариков  $d_0$  во всех случаях равнялся 10 мм.

Для замера скоростей  $v_0$  и  $v_2$  применялись электронные хронометры типа «Нептун»; они получали электрические сигналы от проводочных датчиков, причем скорости определялись на двух базах измерения [3]. Зависимости  $\Delta P$  при  $v_0 = \text{const}$ ,  $\rho_1 = \text{const}$  ( $\rho_1$  — плотность преграды) возрастили с ростом  $l$ , а при  $v_0 = \text{const}$ ,  $l = \text{const}$  — с ростом  $\rho_1$ . Коэффициенты линейной зависимости  $v_2 = a(v_0 - b)$  сведены в таблицу. Видно, что с ростом  $l$  и  $\rho_1$  скорость  $v_2$  падает для данной  $v_0$ .

Как следует из таблицы, в ряде случаев  $d_0 \approx l$ , поэтому можно с достаточной точностью считать, что масса  $m_2$  летит распределенной по расстоянию, но со скоростью  $v_2$ , близкой к постоянной. Это также подтверждается экспериментами работы [2]. В опытах замечено, что в центре находится «пробка» [1] с шаровой частицей, а вторичные осколки выбитой части преграды распределены в конусе тыльного разлета.

Для определения коэффициента  $k$  из (1.1) проводились опыты в следующей постановке: за тонкой преградой из исследуемого материала устанавливалась полу бесконечная преграда из материала с известной зависимостью коэффициента реактивного импульса  $\xi(v_0)$  [3]. Промежуточное расстояние подбиралось так, чтобы вся масса  $m_2$  улавливалась полу бесконечной преградой, установленной на баллистический маятник. Тогда  $m_2$  определялась из равенства

$$\xi(v_2) = J_R [(m_1' + m_2)(m_2 v_2^2 - 2Q)]^{-1/2}, \quad J_R = J_n - m_2 v_2 \quad (2.1)$$

Здесь  $J_R$  — реактивный импульс,  $m_1'$  — масса, выброшенная из кратера в полу бесконечной преграде,  $J_n$  — экспериментально замеряемый полный импульс, переданный в преграду,  $Q$  — потери энергии на скрытые теплоты фазовых превращений [1,3]. В контрольных замерах  $m_2$  определялась взвешиванием листов резины (ловушки), помещаемых после исследуемой преграды. Из расчетов  $k$  по экспериментально полученной массе  $m_2$  следует, что при сквозном пробивании разлета назад нет до  $v_0 \sim 1$  км/сек ( $k = 1$ ). В дальнейшем  $k$  убывает и для скоростей  $v_0 \sim 3-4$  км/сек стремится к 0.5 ( $m_3 \approx m_2$ ). Следует заметить, что у полистиэна, поролона, каучуков, резины РК-9 разлета назад обнаружить не удалось.

При сквозном пробивании часть импульса частицы  $J_1$  воспринимается оставшейся преградой. Для определения  $J_1$  она закреплялась на баллистическом маятнике таким образом, чтобы частица, пробив ее, беспрепятственно пролетала вперед, а маятник

	$l$ , см	$a$	$b$ , км/сек		$l$ , см	$a$	$b$ , км/сек
Fe → Д16Т	0.5	1	0.14	Fe → полистилен	0.1	1	0.03
Fe → Д16Т	1.0	0.89	0.18	Fe → поролон	3.85	1	0.03
Fe → Fe	0.5	0.666	0.18	Fe → губч. резина	4.5	1	0.15
Fe → латунь	0.2	0.9	0.14	Fe → резина РК-9	2.03	0.82	0.05
Cd → Cd	1.15	0.652	0.67	Fe → ПЭТФ	0.2	1	0.03
Sn → Sn	2.0	0.267	0.3	Fe → ПЭТФ	$12 \cdot 10^{-4}$	1	0.03
Zn → Zn	1.49	0.555	0.85	Fe → стеклотекстолит	0.5	0.9	0.05
Fe(Pb) → Pb	0.97	0.55	0.2	Fe → полизобутилен	3.6	1	0.2
Fe → полистилен	0.99	1	0.05	Fe → бутилкаучук	4.42	0.785	0

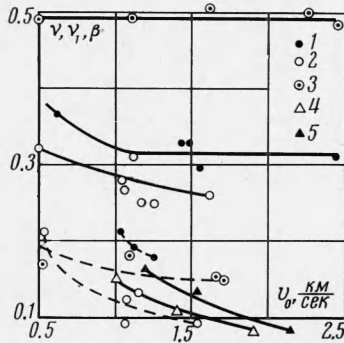
фиксировал импульс  $J_1$ . Если нет разлета назад, то, согласно (1.2),

$$J_0 = m_2 v_2 + J_1 \quad (2.2)$$

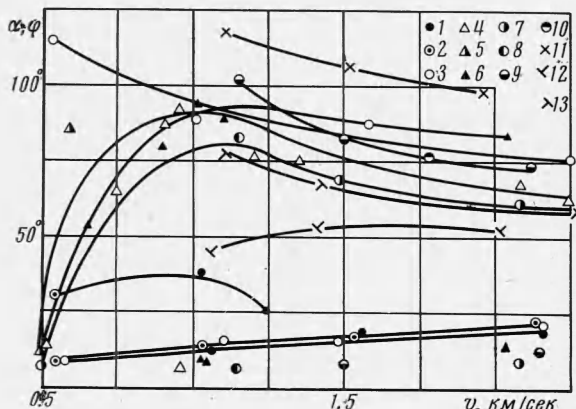
Экспериментальные  $v_3 \sim 0.05 v_0$  [4], что оправдывает (2.2). Тогда из этих опытов можно определить и  $\beta$  и  $m_2$ . Значения  $k$ , полученные таким образом, удовлетворительно совпадали с ранее определенными. Зависимость  $\beta(v_0)$ , убывающая с ростом  $v_0$  стремится к величинам, много меньшим единицы. Поэтому в дальнейшем для высоких скоростей  $v_0$  можно пренебречь значением  $\beta$ .

Для определения коэффициента  $v$  по (1.4) делались разрезы сквозных отверстий в преградах, и взвешиванием находилась масса, охваченная необратимыми деформациями. Сумма этой массы и  $\Delta P$  давала значение  $m_1$ . Представляет интерес вычислить коэффициент  $v_1$ , определяющий долю энергии  $E_0$ , диссирированную в тепло на фронте ударной волны. Расчет  $v_1$  производился по известному уравнению состояния материалов частицы и преграды с учетом кубического затухания давления на фронте ударной волны [1]. Для графического построения спада давления на фронте ударной волны в частице и преграде для проведенных опытов в большом масштабе строились разрезы отверстий и кратеров. Спады  $T(x)$  ( $T$  — температура на фронте ударной волны), соответствующие спаду давления на фронте  $p(x)$  ( $x$  — координата), давали возможность вычислить доли тепловой компоненты внутренней энергии  $i$ , следовательно,  $v_1$ .

Данные по  $v$ ,  $v_1$ ,  $\beta$  для Fe и D16T нанесены графически на фиг. 1. Там приняты следующие обозначения —  $v(v_0)$ : 1 — Fe  $\rightarrow$  D16T,  $l = 1.0$  см; 2 — Fe  $\rightarrow$  D16T,  $l = 0.5$  см; 3 — Fe  $\rightarrow$  Fe,  $l = 0.5$  см; 4 — Fe  $\rightarrow$  D16T,  $l = 0.5$  см; 5 — Fe  $\rightarrow$  D16T,  $l = 1.0$  см. При этом пунктиром обозначены зависимости  $v_1(v_0)$ . Видно, что  $v_1$  увеличивается с ростом плотности и толщины преграды,  $\beta$  — с ростом толщины преграды при  $v_0 = \text{const}$ . Качественно рост  $v$  и  $v_1$  с толщиной преграды можно объяснить большей величиной нагретой массы. Усреднение значений  $v$  вследствие разброса в данных объясняется неточностями в экспериментальном определении  $m_1$ . Экспериментально калориметрическим методом для полубесконечных мишней из Fe, Al, Cd, Sn, Pb определялась также доля всей энергии  $E_0$ , переданная в преграду. Ее отношение к  $E_0$  падает с ростом  $v_0$ , что качественно можно объяснить увеличением энергии, уносимой



Фиг. 1



Фиг. 2

выброшенной из кратера массой  $m_3$ . Важным является угол  $\alpha$  части преграды («пробки»). Эксперименты по сквозному пробиванию показывают, что отверстие в преграде чаще всего имеет форму однополостного гиперболоида вращения, причем часть материала иногда унесена тыльным и лицевым отколами. Можно предположить, что «пробка» имеет цилиндрическую форму и выбивается раньше, чем образуется полное отверстие. Форма отверстия (гиперболоид вращения), вероятно, образуется от взаимодействия уже отраженного от тыльной поверхности и еще приходящего участков фронта полусферической ударной волны. Поэтому в расчетах следует брать минимальный диаметр отверстия  $d_*$  как диаметр «пробки».

3. Представляет интерес определить зависимость углов тыльного ( $\phi$ ) и лицевого ( $\alpha$ ) разлетов при пробивании от различных факторов. С этой целью перед и после мишени устанавливались листы ватмана для фиксации поля разлета мелких осколков. Результаты представлены на фиг. 2. На ней приняты следующие обозначения: 1 — Fe  $\rightarrow$  D16T,  $l = 1.0$  см; 2 — Fe  $\rightarrow$  D16T,  $l = 0.5$  см; 3 — Fe  $\rightarrow$  Fe,  $l = 0.5$  см; 4 — Cd  $\rightarrow$  Cd; 5 — Fe  $\rightarrow$  Cd; 6 — Sn  $\rightarrow$  Sn; 7 — Fe  $\rightarrow$  Pb; 8 — Pb  $\rightarrow$  Pb; 9 — Zn  $\rightarrow$  Zn; 10 — Fe  $\rightarrow$  Zn; 11 — Fe  $\rightarrow$  губчатая резина; 12 — Fe  $\rightarrow$  ПЭТФ; 13 — Fe  $\rightarrow$  СТ.

В итоге проделанных экспериментов для углов  $\varphi$  и  $\alpha$  можно сделать следующие выводы: 1) обнаружить зависимость углов  $\varphi$  и  $\alpha$  от  $l$  не удалось, поскольку данные для разных  $l$  хорошо ложились на зависимость  $\alpha(v_0)$  и  $\varphi(v_0)$  для одной пары, 2)  $\varphi$  и  $\alpha$  не зависят от плотности частицы  $\rho_0$  (совпадение зависимостей  $\varphi_7$  и  $\varphi_8$ ,  $\alpha_7$  и  $\alpha_8$ ,  $\alpha_4$  и  $\alpha_5$  и других), 3) при  $l = \text{const}$  углы  $\varphi$  и  $\alpha$  растут с ростом плотности преграды  $\rho_1$ , 4)  $\varphi$  слабо возрастает с ростом  $v_0$ , 5) зависимость  $\alpha(v_0)$  имеет ярко выраженный максимум при  $v_0 \sim 1.0 \text{ км/сек}$ , за которым следует слабый спад, 6) значение  $\varphi \sim 20-25^\circ$ ,  $\alpha \sim 60-120^\circ$ . Зависимость 7 по  $\alpha(v_0)$  имеет значение  $\sim 60^\circ$  при  $v_0 \sim 3.1 \text{ км/сек}$ , не показанное на фиг. 2. Из опытов следует,

что лицевые осколки (угол  $\alpha$ ) распределяются в узкой зоне у боковой поверхности кругового конуса разлета, тыльные осколки примерно равномерно покрывают поле разлета. Можно предположить, что кольцевой разлет лицевых осколков происходит из-за внедряющейся частицы и спад зависимости  $\alpha(v_0)$  после максимума начинается после дробления частицы.

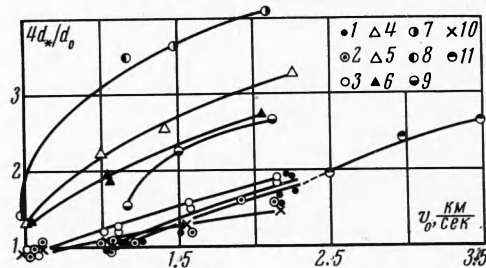
На фиг. 3 дана зависимость  $d_*(v_0)/d_0$  для металлов. На ней приняты обозначения, соответствующие обозначениям фиг. 2, за исключением: 10 — Fe → латунь,  $l = 0.2 \text{ см}$ ; 11 — Fe → 6061-T6,  $l = 0.475 \text{ см}$ . Зависимость 11 взята из работы [5] для стального шарика  $d_0 = 0.63 \text{ см}$  и дюралиюминия марки 6061-T6. Видно, что полученная в работе зависимость 2 удовлетворительно сопрягается с зависимостью 11 на более высоких скоростях соударения  $v_0$ . На фиг. 4 показаны экспериментальные данные  $d_*(v_0)/d_0$  для полимерных материалов. На ней приняты следующие обозначения: 1 — Fe → полиэтилен,  $l = 1.0 \text{ см}$ ; 2 — Fe → ПЭТФ,  $l = 0.5 \text{ см}$ ; 3 — Fe → полизиэтилен,  $l = 0.1 \text{ см}$ ; 4 — Fe → ПЭТФ,  $l = 0.2 \text{ см}$ ; 5 — Fe → ПЭТФ,  $l = 12 \cdot 10^{-4} \text{ см}$ ; 6 — Fe → губчатая резина,  $l = 5.0 \text{ см}$ ; 7 — Fe → резина РК-9,  $l = 2.5 \text{ см}$ . В некоторых случаях (например, для бутилкаучука и полизобутилена) наблюдалось полное заплыивание отверстия [3]. Исходя из зависимостей фиг. 3 и 4, можно сделать заключение, что отношение  $d_*/d_0$  при  $v_0 = \text{const}$  для металлов увеличивается с ростом плотности преграды  $\rho_1$ , толщины преграды  $l$  и плотности частицы  $\rho_0$  (для данного диапазона скоростей). В то же время для полимеров наблюдается обратная закономерность —  $d_*$  уменьшается с ростом  $l$ , хотя диаметр пробоин на уровне исходной и тыльной поверхности преград увеличивается. Можно предположить, что с ростом  $l$  увеличивается время образования отверстия и, следовательно, также время поддержания некоторой температуры локального разогрева в кольцевой зоне около отверстия, необходимой для протекания процесса заплыивания отверстия в полимерах. Вследствие этого, хотя наружный диаметр пробоин с ростом  $l$  растет, внутренний диаметр  $d_*$  падает. Заметим также, что при  $l = \text{const}$  с ростом  $d_0$  отношение  $d_*/d_0$  должно уменьшаться, так как для некоторого  $d_0$  это  $l = l_1$  (для данной  $v_0$ ) и  $d_* = \max d_*$  ( $l_1$  — максимальная глубина пробивания). Для большей  $v_0$  при этом же  $d_0 = \text{const}$  это  $l < l_1$  и  $d_* < \max d_*$ . Поэтому зависимость  $d_*(v_0)/d_0$  может иметь выпуклость, обращенную кверху, что подтверждается экспериментальными данными (фиг. 3).

Автор благодарит В. П. Потреба за помощь в эксперименте и Э. И. Андрианкина — за обсуждение работы.

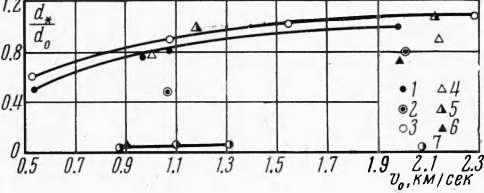
Поступила 17 VI 1965

#### ЛИТЕРАТУРА

- Андрианкин Э. И., Степанов Ю. С. О глубине пробивания при ударе метеоритных частиц. Сб. «Искусственные спутники Земли», 1963, вып. 15, стр. 44, Изд-во АН СССР.
- Recht R. F., Ipsen T. W. Ballistic Perforation Dynamics, J. Appl. Mech., 1963, vol. 30, No. 3, p. 384.
- Архипов Б. А., Степанов Ю. С. О реактивном импульсе при кратерообразовании и моделировании процессов соударения. ПМТФ, 1965, № 3, стр. 120.
- Беляков Л. В., Валицкий В. П., Златин Н. А. О роли тепловых явлений при соударении металлических тел. Докл. АН СССР, 1965, т. 160, № 2.
- Rolsen R. F., Wellnitz J. N., Hunt H. H. An Example of Hole Diameter in Thin Plates due to Hypervelocity Impact, J. Appl. Phys., 1964, vol. 35.



Фиг. 3



Фиг. 4